

كلية العلوم

القسم : المهنرياء

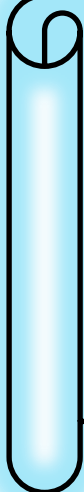
السنة : الرابعة



٩

المادة : الكترونيات نانوية

المحاضرة : الاولى/نظري /



{{{ A to Z مكتبة }}}}

Maktabat A to Z Facebook Group

كلية العلوم ، كلية الصيدلة ، الهندسة التقنية

١١

يمكنكم طلب المحاضرات برسالة نصية (SMS) أو عبر (What's app-Telegram) على الرقم 0931497960



الانتقال الإلكتروني في أنصاف النوافل والstruktures النانوية Electron Transport in Semiconductors and Nanostructures

Introduction 1-6 مقدمة:

درسنا في **مقرر علم النانو** التحسينات التي طرأت على إنشاء مواد التراكيب النانوية وتصنيعها. وفي حالة الإلكترونات ركزنا في المقام الأول على تكمية Quantization طاقاتها في التراكيب النانوية. في الواقع، يعتمد علم الإلكترونيات على الإشارات الكهربائية، فهو يتعامل مع قياسات التيار والجهد الكهربائيين. وتكون الوظائف الأساسية للنماذج الإلكترونية في ضبط الإشارات الكهربائية ومعالجتها. وستتركز دراستنا في هذا الفصل على نقل حاملات الشحنة الكهربائية التي تُعد مسؤولةً عن التيارات الكهربائية المتداولة في التراكيب النانوية.

ترتبط نظم النقل الممكنة للإلكترونات بالعديد من **البارامترات** (المتحولات) والعوامل؛ يمكن شرح وتوضيح بعض الأوجه المهمة لهذه النظم من خلال مقارنة **مقاييس** الزمن والطول لحاملات الشحنة مع **أبعاد النهاية** والظواهر الزمنية **للنهاية** المرتبطة بالترددات العاملة فيها.

- يُجرى مثل هذا التحليل في الفقرة 2-6.
- ونناقش في الفقرتين 6-3 و 6-4 دور إحصاء الإلكترونات في مفاعيل نقلها.
- ثم ندرس سلوك الإلكترونات بوجود حقل كهربائي كبير بما في ذلك ما يسمى **بمفاعيل الإلكترونات الحارة Hot-Electron Effects**. وعند تحليل النهاية القصيرة جداً **تُصفِّ** النقل الإلكتروني التبددي **Velocity-Overshoot Effect**.
- وأخيراً، سندرس في الفقرة 6-5 الحركة القدافية (الباليستية) نصف التقليدية للإلكترونات ونعرض أفكاراً حول النقل الكومي في النهاية النانوية.

2-6 مقاييس الزمن والطول للإلكترونات في الأجسام الصلبة:

Time and Length Scales of the Electrons in Solids

نبأ بتحليل نظم النقل الممكنة للإلكترونات في التراكيب النانوية؛ وطالما يوجد عدد كبير من نظم النقل، فإننا نعرض تصنيفها بدلة أزمنة وأطوال مميزة ملزمة أساساً للحركة الإلكترونية.

1-2-6 الأطوال الإلكترونية الأساسية في الأجسام الصلبة :Electron Fundamental Lengths in Solids

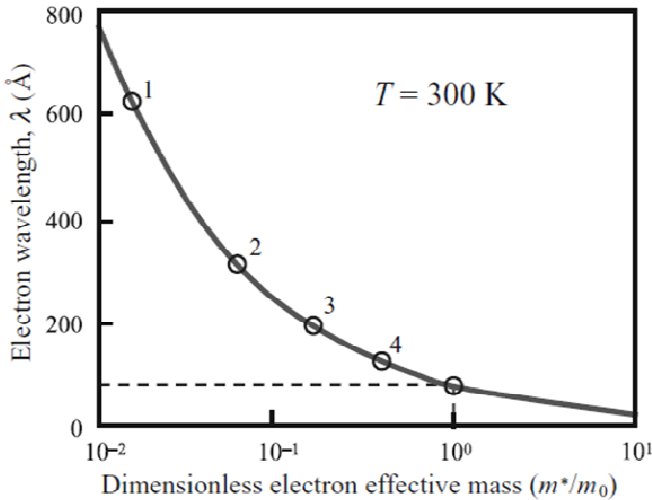
لقد ذكرنا في مقررات الحالة الصلبة أن الطول المميز في الجسم الصلب المتبلور هو ثابت الشبكة البلورية a_0 ولكن المقاييس ذات الصلة بحاملات الشحنة - عادةً - أكبر بكثير من a_0 ؛ إن هذه الحقيقة تسمح لنا بإهمال البنية البلورية الدقيقة Fine Crystalline Structure ودراسة **الإلكترون** فيها وكأنه جسيم حر تقريباً، وذلك من خلال تعين كتلة فعالة للإلكترون يمكن أن تختلف عن كتلته في الخلاء.

يُعد **طول موجة دوبروي De-Broglie Wavelength** لإلكترون متوفّر في جسم صلب **الطول الأكثر أهمية**؛ فمن أجل إلكترون في بنية نانوية نصف ناقلة كتلته الفعالة m^* يكون طول موجة دوبروي λ عادةً أكبر منه من أجل إلكترون حر a_0 :

$$\lambda = \frac{2\pi\hbar}{p} = \frac{2\pi\hbar}{\sqrt{2m^*E}} = \lambda_0 \sqrt{\frac{m_0}{m^*}} ; \quad \lambda_0 = \frac{2\pi\hbar}{\sqrt{2m_0E}}, \quad (1-6)$$

حيث E طاقة الإلكترون و m_0 كتلة الإلكترون في الخلاء.

يوضح الشكل (1-6) تابعية قيمة λ للنسبة m^*/m_0 : تشير النقاط من 1 إلى 4 الظاهرة على المنحني للأطوال الموجية من أجل الإلكترونات في GaAs، InSb، و GaN، و SiC، على الترتيب. لقد استخدمنا من أجل هذه المواد الكتل الفعالة، m^*/m_0 ، المتساوية (0.014)، و (0.06)، و (0.172)، و (0.41)، على الترتيب؛ وفترضنا أن طاقة الإلكترون $T = 300K$ ، حيث $E = k_B T$ ، k_B ثابت درجة حرارة الوسط المحيط و بولتزمان.



الشكل (1-6): علاقة طول الموجة الإلكترونية بالكتلة الفعالة في درجة حرارة الغرفة؛ تشير النقاط 1 و 2 و 3 و 4 إلى المركبات GaAs، InSb، و SiC و GaN.

الجدول (8-4): ثوابت الشبكة البلورية من أجل مواد نصف ناقلة تكعيبة في درجة الحرارة 300 K

Semiconductor	Lattice constant (Å)
SiC	3.0806
C	3.5668
Si	5.4309
GaP	5.4495
GaAs	5.6419
Ge	5.6461
AlAs	5.6611
InP	5.8687
InAs	6.0584

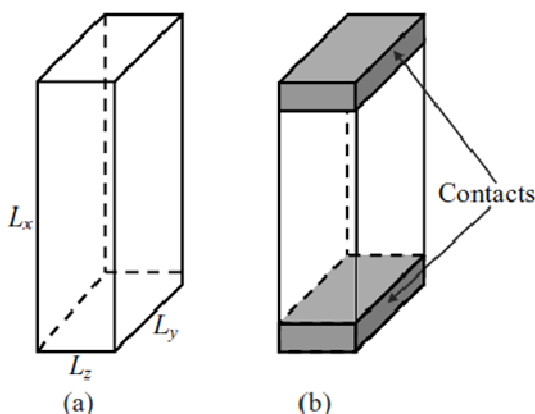
نلاحظ أن **طول موجة دوبروي** للإلكترون في أنصاف النواقل النموذجية ذات الكتلة الفعالة m^* الواقعة في المجال $(730-73)\text{ Å}$ يساوي $(0.01-1)m_0$ أي إنه فعلاً أكبر بكثير من ثابت الشبكة البلورية من أجل المواد المدرجة في الجدول 8-4. **وحالما تنخفض درجة الحرارة إلى 3 K** يزداد طول موجة دوبروي بمقدار **مرتبة واحدة** (أي بمقدار عشر مرات). وهكذا يصبح الطول الموجي قريباً من أبعاد تركيب وبنائط نصف ناقلة تم **تحصيلها** بتكنولوجيا التصنيع النانوية الحديثة.

2-1-6 أبعاد النبيطة وتمكيمية الطيف الإلكتروني:

Size of a Device and Electron Spectrum Quantization

لتدخل بعداً هندسياً لعينة نصف ناقلة $L_x \times L_y \times L_z$ ، كما يوضح الشكل (2-6) تخطيطياً: ولنفرض أن $L_z < L_y < L_x$ ؛ فإذا كانت الجملة **خالية** من العشوائية (أي منتظمة)، وآليات التبعثر الأخرى ضعيفة كفايةً (أي المطعّمات والشوائب والعيوب قليلة جداً لدرجة الإهمال)، تكون الحركة الإلكترونية **شبه باليستية** Quasi-ballistic والطول الواجب مقارنة الأبعاد الهندسية به هو **طول موجة دوبروي** λ

فقط. وبما أنّ عدداً صحيحاً فقط من أنصاف أمواج الإلكترونات يمكن أن يلائم أي جملة محدودة، فبدلاً من



الشكل (2-6): (a) الأبعاد الهندسية لعينة نصف ناقلة ($L_z < L_y < L_x$) و (b) لعينة نصف ناقلة بوجود تماسات توصيل تيار كهربائي؛ يحدث الانتقال الإلكتروني على طول الاتجاه x .

طيف طافي مستمر وعدد مستمر من الحالات الإلكترونية يتم الحصول على مجموعة حالات إلكترونية ومستويات طاقة متقطعة توصف كل منها بعدد مناسب من أنصاف الأطوال الموجية. وهذا ما يُعزى إلى ما يسمى **تكميّة الحركة الإلكترونيّة**

Quantization of Electron Motion

وتبعاً لأبعاد الجملة المدروسة يمكن التمييز بين الحالات الآتية:

(a) **الحالة ثلاثية البعد أو الحالة شبه الحجمية:**

عندما لا تكون تكميّة الطيف الإلكتروني مهمّة على الإطلاق، فإن طول موجة دوبروي يكون

أقل بكثير من أبعاد النبيطة كافية:

$$\lambda \ll L_x, L_y, L_z, \quad (2-6)$$

ويسلك الإلكترون عندها سلوكاً مشابهاً لسلوك جسم حر **يتضَّف** بكلة فعالة m^* .

(b) **الحالة ثنائية البعد أو حالة بُرِّ كمومي؛ عندما تحدث تكميّة الحركة الإلكترونيّة في اتجاه واحد في حين**

إنّ الحركة الإلكترونيّة في الاتجاهين الآخرين حرة، فإن طول موجة دوبروي يكون مساوياً لسماكة **النبيطة**

تقريباً ولكن أصغر بكثير من بعديها الآخرين (طولها وعرضها، مثلاً):

$$\lambda \approx L_z \ll L_y, L_x. \quad (3-6)$$

لقد تمت مناقشة مثل هذه الحالة في **مقرر الفيزياء الكمومية** عند دراسة مثال طاقة كامنة مرتبطة بإحداثية وحيدة.

إذ تُعطى الطاقة الإلكترونية من أجل هذه الحالة على شكل عصابة طافية جزئية ثنائية البعد.

(c) **الحالة أحادية البعد أو حالة سلك كمومي؛ عندما تحدث تكميّة الحركة الإلكترونيّة في اتجاهين بحيث**

ينقل الإلكترون حرّ فقط في اتجاه وحيد - على طول **السلك**، فإن طول موجة دوبروي أصغر بكثير

من طول **النبيطة** ويكون من مرتبة البعدين الآخرين:

$$L_z \approx L_y \approx \lambda \ll L_x. \quad (4-6)$$

تمت مناقشة مثل هذه الحالة في **مقررات أخرى** عند دراسة مثال طاقة كامنة مرتبطة بإحداثيتين. إذ تُعطى الطاقة

الإلكترونية من أجل هذه الحالة على شكل عصابة طافية جزئية أحادية البعد.

(d) **الحالة صفرية البعد أو حالة صندوق كمومي (نقطة كمومية)؛ عندما تحدث تكميّة الحركة الإلكترونيّة في**

الاتجاهات كافة وليس بمقدور الإلكترون الانتقال بحرية في أي اتجاه، فإن طول موجة دوبروي يكون من

مرتبة أبعاد **النبيطة** كافية:

$$L_x \approx L_y \approx L_z \approx \lambda. \quad (5-6)$$

وقد تم تحليل النماذج البسيطة من أجل هذه الحالة أيضاً في **مقررات أخرى**. وكان الطيف الطافي متقطعاً.

توضح الحالات الثلاث الأخيرة أيضاً **مفعول تكمية الأبعاد Quantum Size**؛ في بعدين، وثلاثة أبعاد على الترتيب: فإذا كان بعد هندسي واحد على الأقل لنبيطة أو جملة مساوياً تقريباً لطول موجة الإلكترون فلا بد من معالجة كمومية حتمية للمسألة المطروحة.

لتحل الآن الأسباب والظروف التي تجعل حاملات الشحنة تفقد سلوكيها الشبيه بالموجة بحيث يمكن دراستها كجسيمات عادية (تقليدية)؛ ثمة سببان رئيسان لذلك:

السبب الأول هو عدم مثالية الجملة الذي يؤدي إلى التبعثر الإلكتروني، **والسبب الثاني** مرتبط بدرجة الحرارة المحدودة للجملة وإحصاء الإلكترونات.

في الواقع، فيما يخص السبب الأول تخضع الإلكترونات في نباتات الحالة الصلبة للتبعثر على:

- العيوب البلورية، والشوائب، واهتزازات الشبكة البلورية،
- وخشونة السطح الفاصل، الخ.

إذ تُقسم عمليات التبعثر هذه إلى مجموعتين: مجموعة **تبعد مرن** ومجموعة **تبعد غير مرن**.

في **الفيزياء التقليدية** يؤدي الاصطدام المرن إلى تغير في كمية حركة (اندفاعة) الجسم فقط (أو في المتوجه الموجي للجسم)، في حين إن الاصطدام اللامرن يؤدي إلى تغير في اندفاعة الجسم وفي طاقته. ثمة **خاصية جوهرية لاصطدام المرن تكمن في كونه لا يُخرب طور الإلكترون المتمثّل في مصنوعية طافته واندفاعه**.

أولاً- في الواقع، بعد تبعير مرن تبقى الطاقة مصونة ولا تتغير ويتألف التابع الموجي $(\Psi(\vec{r}, t))$ من مركبات مختلفة تأخذ الشكل $e^{-i\Omega t} e^{i\vec{k}_j \cdot \vec{r}}$.

وتمتلك كل المركبات نفس الطور المتعلق بالزمن $e^{-i\Omega t}$. ولذلك، فإن **التوزيع المكاني للكثافة الإلكترونية** $= |\Psi(\vec{r}, t)|^2 = |\Psi(\vec{r})|^2$ يبقى مستقلاً عن الزمن.

بتعبير آخر، **التبعد المرن لا يُخرب ترابط** *Coherence* **الحركة الإلكترونية**.

يمكنا باستعمال لغة الفيزياء شبه التقليدية تعين **المسار الحر الوسطي Mean Free Path** للإلكترونات

$$l_e = \tau_e v$$

بين حوادث **التبعد المرن** بالعلاقة:

حيث v الزمن الوسطي بين حادثي تبعير مرن و v السرعة الوسطية للإلكترون.

ولذلك، حتى من أجل مسافات تتجاوز l_e ، تكون الخصائص شبه الموجية للإلكترونات **متراقبة**.

ثانياً- يؤدي التبعثر **اللامرن** إلى نتيجة مغایرة لما سبق؛ حيث يولد هذا التبعثر أمواجاً إلكترونية **بطاقات مختلفة** ويمتلك التابع الموجي الناتج **تابعية مركبة للمكان والزمان**؛ إذ يؤدي خفاف المركبات الموجية المختلفة بالزمن إلى اضطراب مفاعيل **ترابط** **الحركة الإلكترونية الموجية**:

لتكن τ_E الزمن الوسطي بين تصادمين لامرين؛ إن المسافة التي ينتقلها الإلكترون بين هذين التصادمين تسمى أحياناً **بطول التبعثر اللامرن Inelastic Scattering Length** l_E .

يُحافظ الإلكترون على ترابطه الكمومي من أجل مسافات أقل من طول التبعثر اللامرن l_E **ويفقده من أجل** المسافات الأكبر منه. عموماً، $\lambda > l_E$ طالما لا توجد شروط عدم توازن حاد. **وعادةً طول التبعثر اللامرن** l_E

يفوق المسار الحر الوسطي τ_e ؛ وفي هذه الحالة، يتعرّض الإلكترون للكثير من التصادمات المرنة قبل أن يفقد طاقته، وتُعرف هذه العملية على أنها عملية انتشار *Diffusion Process* للإلكترون ويعطى انزياحه (طول انتشار) $\text{خلال} \tau_E$ بين تصادمين غير مرنين بالمساواة:

$$l_E = \sqrt{D\tau_E} \quad (\tau_E \gg \tau_e), \quad (6-6)$$

حيث يعطى معامل الانتشار D بالمساواة $D = v^2 \tau_e / \alpha$ ، علمًا بأن $\alpha = 3$ من أجل غاز إلكتروني ثلاثي البعد، و $\alpha = 2$ من أجل غاز إلكتروني ثنائي البعد، و $\alpha = 1$ من أجل غاز إلكتروني أحادي البعد، وعادةً، τ_E و τ_e يتلاصمان عند ارتفاع درجة حرارة الجملة.

أما السبب الثاني الذي يستوجب إجراء عملية توسيط **للسلوك الكومومي** على إحصاء الإلكترونات فيمكن في **التأثير الحراري** *Temperature Effect*.

في الواقع، في درجات الحرارة المحدودة تتوافر الإلكترونات بطبقات مختلفة كفايةً، وهذا ما يؤدي إلى **تبابين كبير** Large Spreading في **أطوار التابع الموجي** الموافق لها **فيتشوَه الترابط** في المنظومة الإلكترونية. **وهنا** يمكن تقييم **الطول المميز** L_T المتعلق بهذا تشوَه مرتبط بدرجة الحرارة؛ فتعرض (توسيع) الطاقة الإلكترونية بمقدارٍ من رتبة $k_B T$ يُؤدي إلى اختلاف الأطوار مع الزمن t ، وفق العلاقة:

$$\Delta\phi = t \frac{k_B T}{\hbar}$$

إذن، يمكن تقييم التشتت الزمني t على أنه اللحظة τ_T التي من أجلها $\Delta\phi \approx 1$ ، أي أن $\tau_T = \hbar / k_B T$. إذا كان التبعثر مرتباً فقط، فإن الإلكترون ينتشر في الفراغ لمسافة تساوي نحو \sqrt{Dt} ، خلال الزمن t الذي يتجاوز زمن الطيران الحر الوسطي τ_e . وهكذا، يمكن الحصول على طول الانتشار الحراري *Temperature Diffusion Length* خلال الفاصل الزمني τ_T :

$$L_T = \sqrt{D\tau_T} = \sqrt{D\hbar / k_B T} .$$

وعند مسافات تفوق L_T يفقد الإلكترون الترابط.

في حقيقة الأمر، تنتج مفاعيل التبابين الطوري Dephasing Effects من التصادمات اللامرنة والتشتت الحراري للأطوار التي تحدث بآن معاً؛ ولذلك، يتعين **المقياس المكاني** Spatial Scale المرتبط بفقدان الترابط الكومومي بأصغر الطولين l_e و L_T :

$$l_\phi \cong \min\{l_E, L_T\}. \quad (7-6)$$

- يتعين النقل الإلكتروني بالتابع الموجي أي بتراكب الأمواج الإلكترونية المتغيرة.
- يمكننا أن نستنتج من الدراسة المذكورة أعلاه أن طول الترابط *Coherence Length*، l_ϕ ، يُعَدُّ **الحد الذي دونه يمتلك النقل الإلكتروني سلوكاً كومومياً** Quantum Character.
- فالنهايات التي أبعادها الهندسية من **رتبة طول الترابط** لن توصف بعد الآن بمحولات مادية جهيرية؛ كالناقلية، والسرعة الوسطية، الخ. تسمى مثل هذه الحمل (المنظومات) **حمل ميزوسكوبية Mesoscopic**
- التي أبعادها أقل من الميكرومتر ومن رتبة أبعاد الذرات والجزيئات المنفردة.

- ولذلك، فإن النظرية الدقيقة التي تصف النبات الميزوسكوبية *Mesoscopic Devices* هي النظرية الكمية Quantum Theory. فخصائص مثل هذه الجمل الميزوسكوبية تُعَيَّن بظواهر شبه-موجية ولهذا السبب، تتعلق هذه الخصائص بشدة ب الهندسة العينة، والتماسات، وموقع المبعثرات، الخ.
- أما من أجل الحالات التي تكون فيها مسافة النقل الإلكتروني L_x طويلة بالمقارنة مع طول الترابط λ ، فيمكن وصف النبطة في إطار الفيزياء التقليدية.

3-6 نظم النقل الإلكتروني الكمية والتقاليدية:

Quantum and Classical Regimes of Electron Transport

سنجرى في هذه الفقرة مقارنة بين المناقشة السابقة، في الفقرة 2-1-6، للأطوال الرئيسية مع أبعاد نبطة بهدف توضيح نظم النقل الإلكتروني الممكنة وتفسيرها؛ وبعرض التبسيط، نفرض أن النقل يجري على طول بعد واحد، **ليكن الاتجاه x مثلاً**. وعليه، فإن **التيار الكلي في كل من الاتجاهين الآخرين يساوي الصفر**، ولكن هذه الأبعاد العرضانية للنبطة يمكن أن تكون مهمةً جداً.

أولاً- نظم النقل الكمية والميزوسكوبية :Quantum and Mesoscopic Regimes of Transport

يمكنا تعين نظامي النقل الإلكتروني غير التقليديين - الكمي والميزوسكوبى وفق الآتي:

- إذا كان طول موجة دوبروي يفوق الطول المفترض للنبطة L_x ،

$$\lambda \geq L_x , \quad (8-6)$$

فإن المسار الحر الوسطي الإلكتروني يفوق طول موجة دوبروي الموافقة بكثير، $L_x \gg \lambda$ ، وعندما يوصف

النقل الإلكتروني بنظام **النقل البالستي الكوانتي** *Quantum Ballistic Transport Regime*

- إذا كان طول الترابط λ (الذي يُعزى أحياناً إلى **مقدار التباين الطوري** *Dephasing Length*) يفوق

L_x و λ :

$$\lambda > L_x , \quad (9-6)$$

ثانياً- نظام النقل الإلكتروني التقليدي :Classical Regime of Electron Transport

- في الحالة التي يكون فيها البعد L_x أكبر من طول الترابط (طول التباين الطوري)؛

$$L_x > \lambda , \quad (10-6)$$

يوصف النقل الإلكتروني **بالنظام التقليدي**.

- إذا كان البعد L_x أقل من المسار الحر الوسطي؛

Classical فيوصف النقل الإلكتروني **بالنظام البالستي التقليدي** $L_x > \lambda$ ، $(11-6)$

Ballistic Regime الذي يعني أنّ بمقدور الإلكترونات الانتقال في النبطة على طول المساقط التقليدية من دون تصدامات.

إذا كان البعد L_x أكبر بكثير من المسار الحر الوسطي؛

(12-6) $L_x \gg l_e$ فإن النقل الإلكتروني يكون من طبيعة انتشارية، أي أن الإلكترونات تعاني

العديد من التصادمات لدى انتقالها في النبيطة.

إذا كان $L_x \sim l_E$ ، فإن الإلكترونات لا تفقد طاقتها أثناء حركتها عبر المقطعين الآخرين للنبيطة

(المسارات العرضانية العمودية على طول النبيطة) - y و z .

ويسمى مثل هذا النقل **نقاًلاً شبه بالستي** *Quasi-ballistic Transport*. إذ بغياب الحقل الكهربائي ثُحافظ الإلكترونات على طاقتها في النظام شبه بالستي.

بجمع المتراجحات التي تمت مناقشتها أعلاه مع المتراجحات من (6-2) إلى (6-4) يمكن أن نجد ثلاثة نظم للنقل التقليدي من أجل الإلكترونات؛ في بعدٍ، وبعدين، وثلاثة أبعاد.

تأثير الأبعاد العرضانية على انتقال الإلكترونات: إذا كان كل بعدٍ من البعدين العرضانيين L_z و L_y أكبر من طول موجة دوبروي ولكنهما من مرتبة أحد الأطوال التقليدية المميزة، فإن نظام النقل الإلكتروني يوصف بما يسمى **بمفعول البعد التقليدي العرضاني** *Transverse Classical Size Effects*.

في هذه الحالة، تؤثر التصادمات مع حدود النبيطة على النقل الإلكتروني فيها. فمثلاً، إذا كان بعد عرضاني واحد أو كلا البعدين العرضانيين من مرتبة المسار الحر الوسطي؛

$$L_z, L_y \sim l_e,$$

فإن مقاومة النبيطة تتعلق بخصائص الحدود الجانبية للنبيطة بشدة.

يجدر بالذكر أن خشونة الحدود تزيد من المقاومة وتسيطر عليها بشكل كامل إذا تحققت المتراجحة . $L_z, L_y \ll l_e$

إذا أصبحت الأبعاد العرضانية من رتبة أحد أطوال الانتشار (L_E و L_T)، فإننا نتعامل مع نوع آخر من مفعول البعد التقليدي، لاسماً مفعولات البعد الانتشر التقليدية؛

فمثلاً، إذا كان البعد L_z أو L_y من مرتبة طول استرخاء الطاقة l_E ، فإن حدود النبيطة تضمن قنطرة استرخاء طاقة إضافية. يسيطر مفعول البعد الانتشر هذا على الطاقة الوسطية للإلكترونات اللامتوازنة ويتحكم بها. وفي هذا السياق من المناسب أن نعرض تصنيفًا لنظم النقل الممكنة، كما يظهر في الجدول (1-6).

الجدول (6-1): تصنيف أنظمة النقل الإلكتروني

النظام الكمومي	المسافة بين التماسات L_x تقارب بطول الموجة الإلكترونية $\lambda \leq L_x$
النظام الميزوسكوبى	المسافة بين التماسات L_x أقل من طول مقدار التباين الطوري: $L_x \leq l_\phi$
النظام التقليدي (النقل الإلكتروني الأحادي - الثنائي - والثلاثي البعد)	المسافة بين التماسات L_x تفوق طول مقدار التباين الطوري l_ϕ : $L_x > l_\phi$ النظام بالستي التقليدي، $l_e \geq L_x$ النظام شبه بالستي (الطاقة- مصنانة): $L_E \geq L_x \geq l_e, l_\phi$ مفاعيل الأبعاد العرضانية: → المفعول المرتبط بالمسار الحر الوسطي، $L_z, L_y \sim l_e$ → مفاعيل الانتشار، $L_x, L_y \sim l_E$

6-4 مقاييس الزمن والنظم الزمنية (نظم التردد):

Time Scales and Temporal (Frequency) Regimes

I. **تعين مقاييس الزمن** التي تصف ظواهر النقل الإلكتروني **خصائص المواد والنباءط المتعلقة بالزمن والتردد**.

ثمة زمان رئيسي يحددان مظهر سلوك النقل الإلكتروني، هما:

- الزمن الفاصل بين حادثي تبعثر متاليتين أو زمن الطيران الحر (زمن التبعثر) τ_e
 - والزمن الذي يصف مدة حادثة التبعثر، τ_s . تتحقق في الشروط العادية المترادفة $\tau_e > \tau_s$:
1. في الواقع، عادةً ما يفترض أن حادثة التبعثر حادثة لحظية، أي إن $0 \rightarrow \tau_s$.

في هذه الحالة، يمكن تطبيق إما النظرية التقليدية وإما النظرية الكعومية من أجل توصيف السلوك الإلكتروني، **تبعاً لمقاييس الطول**.

2. ولكن إذا أمكن مقارنة τ_e مع τ_s (أي إذا كان τ_e من مرتبة τ_s أو أقل منه)، وهذا ما يمكن حدوثه في شروط **تبعثر الإلكترونيات الامتوازنة** بشكل شديد للغاية، فإنه لا بد من وصف السلوك الإلكتروني كعومياً **بصرف النظر عن حجم الجملة**.

II. **تعُد الأزمنة المميزة** وعلاقاتها بأبعاد النبيطة مهمةً للغاية في أنظمة النقل التقليدي. فهي تحدد النظم الزمنية والترددية لعمل النبيطة؛

فمثلاً، يُعين زمن العبور Time $t_{tr} = L_x / v$ ، المدة التي تستغرقها إشارة لعبر النبيطة (حيث v السرعة الإلكترونية). إذن يُعين زمن العبور، t_{tr} **السرعة الحديثة** Ultimate Speed من أجل النبيطة المدروسة: ليس بمقدور النبيطة العمل بفعالية في مجال زمني أقل من t_{tr} أو بترددات أكبر من t_{tr}^{-1} . وهذا ما يفسر نزعه **الإلكترونيات الحديثة** (أو بالأحرى أحد ميولها) إلى تصغير أبعاد النبيطة.

إن الأزمنة المتعلقة بالأبعاد العرضانية, $v = L_{z,y} / t_b$ (**المواقة لجوار** أنظمة النقل بالطريقة البالisticية)، أو $D / D = t_D$ (من أجل **تأثيرات بعد الانتشاري**), **تحدد صفات النقل الإلكتروني** عند ترددات من مرتبة t_D^{-1} أو t_b^{-1} .

1. نعلم من ميكانيك الكم، أنه إذا كانت **الكمونات الخارجية مستقلة عن الزمن** DC-Field، فإن **الإلكترونات تكون في حالات مستقرة** Stationary States. في هذه الحالة، وبصرف النظر عن **التابعية-المكانية** المعقدة الممكنة للتابع الموجي، فإن التطور الزمني لحالة مستقرة تعين دوماً **عامل أسي** $\exp[-i(E/\hbar)t]$.

2. وإذا طبق **حقل خارجي متغير** AC-Field بتوافر زاوي ω على جملة إلكترونية مستقرة، فيمكن وصف استجابتها بأحد الأنظمة الثلاثة الآتية المختلفة تبعاً لتردد الحقل الخارجي:

أولاً- الترددات العالية جداً (الكمومية) Ultra-High (Quantum) Frequencies

1. إذا كانت $\omega \hbar$ من مرتبة الحالة الطافية الإلكترونية المستقرة المميزة، E ، فإن طبيعة الاستجابة الإلكترونية ستكون **مكمأة** (أي تخضع لميكانيك الكم): فالانتقالات المسموحة بين الحالات هي فقط تلك الحالات التي تتحقق من أجلها المساواة $\Delta E = \hbar\omega$.

إذا كانت الحالة E مكمأة Quantized، فإن التفاعل يكون ممكناً عند ترددات التجاوب فقط. ولدى تغيير أبعاد النبطة يمكن أن يتغير الطيف الطافي، ومن ثم تغير الخصائص التردية في مجال واسع. تؤدي الأزمنة الحركية، τ_e (زمن الطيران الحر)، و τ_E (زمن التبعثر اللامرن)، الخ إلى تعرض (توسيع) هذه التجاويب Resonances. وإذا فاق هذا التوسيع الفواصل الطافية بين المستويات المكمأة، فإن السلوك الكمومي المتقطع يتغير إلى سلوك الميكانيك التقليدي شبه- المستمر.

2. أما إذا كان $\Delta E < \hbar\omega$ ، فإن الاستجابة الإلكترونية لحقل متاوب تكون ذات طبيعة تقليدية (إذ يمكن إهمال تكمية النقل)؛ فمن المنظور التقليدي سيسبب الحقل الخارجي المتباوب تسارعاً وتباطئاً إلكترونياً دوريًا. غير أن التبعثر يقطع هذه التسارعات والتباطئات (أي يسحقها). وتبعاً لعدد حوادث التبعثر التي تجري خلال دور واحد يمكننا التمييز بين نظامين مختلفين للسلوك الإلكتروني.

ثانياً- الترددات العالية (التقليدية) High (Classical) Frequencies

إذا تحقق المترابحة $1 > \omega_e$ ، فإن الحركة الإلكترونية لن تتبع حقل دوري واحد للحقل الخارجي بالطبع. وتبعاً للميكانيك التقليدي تهتز كمية الحركة الإلكترونية (الاندفاع الإلكتروني) **بطور مخالف** لطور الحقل المطبق (أن الحركة الإلكترونية لا تستطيع مواكبة اهتزازات الحقل المطبق السريعة).

ثالثاً- الترددات المنخفضة Low Frequencies

إذا كان $1 < \omega_e$ ، فإن الإلكترون يتعرض للعديد من حوادث التبعثر خلال دور واحد للحقل الخارجي. والتبعثر المتعدد خلال الدور الواحد يجعل الإلكترون في حالة شبه مستقرة بحيث **يستطيع مواكبة** اهتزازات الحقل الخارجي؛ بتعبير آخر، يهتز الاندفاع الإلكتروني **بطور مطابق** لطور الحقل.

نستنتج في ختام هذه الفقرة، أنه توجد أنظمة نقل الكتروني مختلفة تبعاً لأبعاد النبطة، ودرجة الحرارة، وشروط أخرى؛ إذ كل نظام من هذه الأنظمة يعرض بوضوح خصائص مميزة ويستوجب كل منها توصيفاً فيزيائياً متلائماً مع الشروط ذات الصلة.

6-3 إحصاء الإلكترونات في الأجسام الصلبة والstrukture النانوية: مطالعة حتى نهاية الصفحة 12

Statistics of the Electron in Solids and Nanostructure

من أجل التحليل اللاحق للتركيب النانوية لا بد من عرضِ موجزٍ للخصائص الأساسية للجمل المتعددة الإلكترونات؛ في الواقع، تتألف أي مادة نصف ناقلة من عدد كبير من الإلكترونات أي أنها فعلياً جملة متعددة الإلكترونات *Many-Electron System*، ومن أجل جملة كهذه، ثمة سؤال أساسي يطرح نفسه حول كيفية توزُّع الجسيمات على الحالات الطاقية المختلفة التي تصنف هذه الجسيمات.

→ فمثلاً، إذا تحركت **الجسيمات بحرية** فيمكننا الاهتمام بالمعلومات ذات الصلة من خلال **توزيعها** على **السرعات**؛

→ وإذا كانت حركة الجسيمات **مكمأة**، فإن معرفة توزُّعها على مستويات الطاقة يكون ضرورياً، وهذا دواليك؛

→ وبمعرفة مثل هذه التوزُّعات نستطيع إيجاد كل الصفات المميزة المتوسطة للجمل المتعددة الجسيمات. إن القواعد والمبادئ التي تبعاً لها تسكن الجسيمات الحالات الطاقية للجمل المتعددة الجسيمات **تكون** ما يسمى **بالإحصاء الفيزيائي Physical Statistics**. بمقدورنا في الإحصاء الفيزيائي، وبهدف وصف **إسكان** الحالات بالجسيمات، استعمال **تابع توزُّع Distribution Function** للجسيمات: في حالة التوازن، **يعين** التوزُّع على المستويات الطاقية **خصائص** الجمل المتعددة الجسيمات بشكل كامل؛ إذ يأخذ تابع التوزُّع معنى احتمال إيجاد جسيمات بطاقة معينة E . ليكن E_i المستوى الطاقي لجسيمات في جملة متعددة- الجسيمات حيث يُرقم الدليل i المستويات الطاقية. وعندما، يمكن عدّ تابع التوزُّع **تابع الطاقة**، $F(E_i)$. من الواضح أن:

$$\sum_i F(E_i) = N, \quad (13-6)$$

حيث N العدد الكلي للجسيمات.

إذن، المبادئ الإحصائية في الفيزياء التقليدية **والفيزياء الكمومية** مختلفة، فالفيزياء الكمومية توافق الصفات الإحصائية غير المتوفرة في التوصيف التقليدي، وهذه الصفات مرتبطة بحقيقة أن الجسيمات الأولية هنا، بما فيها الإلكترونات، متطابقة ومن غير الممكن، من حيث المبدأ، تحديد إحداثياتها **وتعقب** **إلكترون** **بعينه دون سواه**. فضلاً عن أن ثمة "صفة ذاتية" للجسيمة، هي السبين *Spin*، تؤدي دوراً غاية في الأهمية في فيزياء الجسيمات المتعددة.

إحصاء فيرمي للإلكترونات Fermi Statistics of Electrons

إذن، سبين الجسيمة يؤدي دوراً حاسماً في الإحصاء الكمومي وقد عرضنا تعريف سبين الجسيمة في **مقررات أخرى** وقلنا بأنه درجة حرية إضافية "داخلية":

في الواقع، على الرغم من أنه يمكن مقارنة السبين بالدوران التقليدي إلا أنه كمية كمومية على نحو تام ويختلف جوهرياً عن قرينه التقليدي. فالخاصية **الكمومية الأساسية للسبين** هي كمية من دون أبعاد تسمى العدد السبياني *Spin Number* ويرمز لها بالرمز s .

وتم الإقرار تجريبياً أن للإلكترون عدداً سبيانياً يساوي النصف $\frac{1}{2}$ ؛ فإذا ثبتنا محوراً في الفراغ، فإن مسقط سبين الإلكترون على هذا المحور يمكن أن يكون إما $\frac{1}{2}$ وإما $-\frac{1}{2}$.

ويطلب التوصيف الكامل لحالة إلكترونية ما مجموعه أعداد كمومية: ثلاثة منها تافق حركة الجسيمة في الفراغ؛ لأن تكون $\{I_1, I_2, I_3\} = I$ ، والرابع يوافق سينياً s .

وبناءً للمناقشة التقليدية يوافق هذا العدد الكمومي الرابع تحللاً ثانياً Tow-Fold Degeneracy (أو تحللاً ثاني التطبُّق) لكل مستوى طاقة.

السبين الإلكتروني، من أجل حالات فعلية كثيرة، ليس مهمًا في تعديل (أو تغيير) الأطيف الطاقية أو التابعية المكانية للتواجد الموجية، الخ. ولكن ثمة نتيجة بالغة الأهمية نابعة من حقيقة أن العدد السبياني الإلكتروني نصف عدد صحيح.

Pauli في الحقيقة، تخضع الجسيمات التي سببناها تساوي أنصاف أعداد صحيحة لمبدأ الاستبعاد لباولي Exclusion Principle الذي يقرأ بالشكل الآتي:

فأي حالة كمومية، { l, s }، يمكن أن يسكنها جسيم وحيد فقط. وبتعبير آخر، لا يمكن للإلكترونين في جملةٍ أن يتواجدَا بآن معاً في الحالة الكمومية ذاتها. أو يمكن القول أنه بمقدور الإلكترونين أن يكونا في الحالة الطاقية ذاتها إذا اختلف عددهما الكمويان السبيئين (أي لدينا ما يسمى **الحالة المتحللة** *Degenerate State*)؛ فإذا كان عدد كمومي سبيئي مساوياً $\frac{1}{2} +$ ، فإن العدد الآخر يجب أن يساوي $\frac{1}{2} -$. يُزال التحلل إذا توافر تأثر Interaction بين السبين الإلكتروني والحركة الانسحابية (المدارية) الإلكترونية يُعرف بالتأثير (السبين - المداري) *Spin-Orbital Interaction*. وفي هذه الحالة يؤثر السبين الإلكتروني على الخصائص الفراغية الإلكترونية وعندها تمتلك الإلكترونات ذات السبين $\frac{1}{2} +$ والسبين $\frac{1}{2} -$ طاقات مختلفة.

الفالشكل (3-6) يوضح الإسقانات الممكنة Possible Populations للمستويات الطاقية بإلكترونات من أجل حاليتين؛ مستويات طاقة متحللة ومستويات طاقة لامتحللة.

الإحصاء **إحصاء فيرمي** Fermi Statistics. في من الواضح، أن مبدأ استبعاد باولي يؤدي إلى إحصاء جديد- غير تقليدي، للإلكترونات. يسمى مثل هذا

The diagram illustrates the effect of a magnetic field on atomic energy levels. It shows three horizontal lines representing energy levels. The top level has two circular nodes with arrows pointing up and down, labeled '(a) Spin degeneracy' and 'تحلّي سيني'. The middle level has two circular nodes with arrows pointing up and down, labeled '(b) Spin splitting' and 'انشطران سيني'. The bottom level has two circular nodes with arrows pointing up and down. Dashed lines connect the top and middle levels to the bottom level, indicating that the original degenerate levels split into two due to the magnetic field.

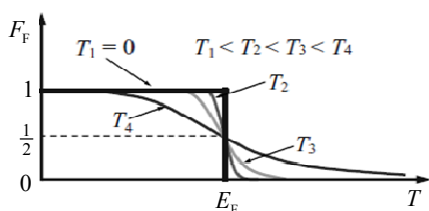
الشكل (6-3): يوضح إنشغال سويات طافية بالإلكترونات،
(a) مستويات متقللة سينيناً و (b) مستويات غير متقللة
(مستويات الانشطار السيني).

توزيع فيرمي : Fermi Distribution Function

$$F_F(E_{l,s}) = \frac{1}{1 + e^{\frac{E_{l,s} - E_F}{k_B T}}}, \quad (18-6)$$

حيث T درجة حرارة الجملة، و $(E_{l,s})$ طاقة الحالة الكمومية الموصوفة بمجموعة أعداد كمومية؛ l و s ، و بما يسمى بطاقة فيرمي E_F ، أو $Fermi Energy$ ، أو $Fermi Level$.

الشكل 4-6 يوضح تابع توزع فيرمي (F_F) (E_{l,s}) عند تغير درجة الحرارة حيث استخدمنا المتحولات الحرارية $T_1 > T_2 > T_3 > T_4$ و $T_1 = 0$. يجدر بالذكر أن طاقة فيرمي، يمكن أن ترتبط بالعدد الكلي،



الشكل (4-6): يوضح كيفية تغير تابع توزيع فيرمي مع تغير درجة حرارة البُلّورة

للإلكترونات من خلال شرط التنظيم، المعادلة (13-6). إذا أخذنا بالحساب المجموع على السين نحصل على المساواة

$$\sum_{l,s} F_F(E_{l,s}) = N, \quad (19-6)$$

$$\text{التي تعطي } E_F = E_F(N, T)$$

يمكن أن نرى من المعادلة (18-6)، تبعاً لمبدأ الاستبعد، أن احتمال إسكان أي حالة طاقية $\{l, s\}$ ، معرفة بالمعادلة (18-6)، أقل من الواحد أو يساويه.

إن الحد الثاني الواقع في مقام الكسر، في المعادلة (18-6)، يكون في درجات الحرارة المرتفعة أكبر بكثير من الواحد وتوزع فيرمي قريباً من توزع بولتزمان:

$$F_F \approx e^{\frac{E_F - E}{k_B T}}. \quad (20-6)$$

تطابق المعادلتان (6-20) و (14-6) عندما يساوي ثابت التنظيم C ما يأتي:

$$C = \exp\left(\frac{E_F}{k_B T}\right). \quad (21-6)$$

والشكل (4-6) يوضح المنحني الموافق تخطيطياً عندما $T = T_4$.

يتتحول التابع F_F في حدود درجات الحرارة المنخفضة، $0 \rightarrow T$ ، إلى تابع الخطوة :Step Function

$$F_F(E) = \begin{cases} 1, & E_F > E, \\ 0, & E_F < E, \end{cases} \quad (22-6)$$

أي أن:

$F_F(E) = 1$ من أجل المستويات الطاقية الواقعة تحت طاقة فيرمي E_F ، طالما أن كل المستويات ذات

الطاقة $E < E_F$ مشغولة؛

و $F_F(E) = 0$ من أجل الطاقات الواقعة فوق E_F طالما أن هذه المستويات فارغة.

إذن، ضمن حدود درجة الحرارة المنخفضة هذه تُعزى الجملة الإلكترونية أحياناً إلى ما يسمى بالغاز

الإلكتروني الشديد التحلل . Highly Degenerate Electron Gas

والآن بمقدورنا تطبيق إحصاء فيرمي على الإلكترونات في عصابة الناقلة.

أولاً- ليكن n تركيز الإلكترونات الحجمي في عصابة ناقلة تتصف بتبدل طاقي $E(\vec{k})$ Energy Dispersion نقيل هنا أن الطيف الطاقي مستقل عن السين. ولهذا السبب، فإن مجموعة الأعداد الكومومية، l ، مطابقة لمجموعة المتجهات-الموجية \vec{k} . وتبعاً لتوزع فيرمي فإن احتمال إيجاد إلكترون يمتلك المتجه الموجي \vec{k} يساوي إلى

$$F_F(E(\vec{k})) = 2 \frac{1}{1 + e^{\frac{E(\vec{k}) - E_F}{k_B T}}}, \quad (23-6)$$

حيث يظهر العامل 2 من التحلل السيني . Spin Degeneracy

يرتبط التركيز الإلكتروني n وطاقة فيرمي E_F بالمعادلة الآتية:

$$n = \frac{N}{V} = \frac{2}{V} \sum_{\vec{k}} \frac{1}{1 + e^{(E(\vec{k}) - E_F)/(k_B T)}}, \quad (24-6)$$

حيث V حجم البلورة المدروسة. يمكن تحويل المجموع في العلاقة الأخيرة إلى تكامل؛ في الواقع، تبعاً للتحليل المعطى في **ميكانيك الكم والمعادلة (4-10)** التي توصلنا إليها في مقرري علم النانو وتطبيقاته وفيزياء الحالة الصلبة (2) الآتية:

$$\boxed{\vec{k} \cdot \vec{a}_i N_j = 2\pi n_j, \quad n_j = 1, 2, 3, \dots, N_j}$$

يأخذ المتجه الموجي للإلكترون القيم الآتية:

$$k_z l_z = 2\pi l_3 \quad \text{و} \quad k_y l_y = 2\pi l_2 \quad \text{و} \quad k_x l_x = 2\pi l_1$$

حيث l_1, l_2 ، و l_3 أعداد صحيحة.

لقد أدخلنا في العلاقات الأخيرة أبعاد البلورة l_x, l_y ، و l_z .

(ترتبط الأبعاد البلورية **بالمتجهات الأساسية** للشبكة البلورة a_i وبعدد الخلايا الأولية N_i ؛ بعلاقة من الشكل $L_x = a_x N_x, L_y = a_y N_y$ ، و $L_z = a_z N_z$). ولهذا السبب، يكفي الجمع على \vec{k} الجمع على i . ويمكن حساب العملية الأخيرة بشكل تقييمي من خلال التكامل:

$$\sum_{l_1, l_2, l_3} (\dots) \approx \iiint dl_1 dl_2 dl_3 (\dots)$$

وبما أن تابع التوزع يتعلق بالتبعد الطيفي (\vec{k}) فمن المناسب التعبير عن التكامل الأخير بدلاً من التكامل على \vec{k} . إذ يمكننا في هذا السياق استعمال العلاقات الآتية:

$$\Delta l_1 = \frac{l_x}{2\pi} \cdot \Delta k_x, \quad \Delta l_2 = \frac{l_y}{2\pi} \cdot \Delta k_y, \quad \Delta l_3 = \frac{l_z}{2\pi} \cdot \Delta k_z.$$

وطالما أن $L_x \times L_y \times L_z = V$ ، فيمكننا كتابة العلاقة النهائية الآتية:

$$\sum_{\vec{k}} (\dots) = \frac{l_x \cdot l_y \cdot l_z}{2\pi \cdot 2\pi \cdot 2\pi} \iiint dk_x dk_y dk_z (\dots).$$

ومن ثم

$$\boxed{\sum_{\vec{k}} (\dots) = \frac{V}{(2\pi)^3} \iiint dk_x dk_y dk_z (\dots).} \quad (25-6)$$

يُعد هذا الإجراء، المتمثل في استبدال الجمع على \vec{k} المتقطع بالتكامل على \vec{k} المستمر، مفيداً من أجل حساب كميات وسطية.

وبمثابة مثالٍ، لنحسب طاقة فيرمي E_F لجملة إلكترونية واقعة في درجات حرارة منخفضة ($T \rightarrow 0$) على فرض

أن الطيف الطيفي للإلكترونات متماثل المناخي أي إنه متعلق بالطويلة $|\vec{k}| = k$ فقط:

$$\boxed{E(\vec{k}) = E(k) = \frac{\hbar^2 k^2}{2m^*},}$$

حيث m^* الكتلة الفعالة للإلكترون.

ليكن n التركيز الإلكتروني؛ فتبعاً لإحصاء فيرمي، ستشغل الإلكترونات كل الحالات الطاقية الواقعة تحت طاقة فيرمي. وبما أن $E(k)$ تابع متزايد بالنسبة للعدد الموجي k ، فينتج، عندما $T \rightarrow 0$ ، أن كل الحالات التي تتحقق الشرط $k \leq k_F$ تكون مسكونةً بالإلكترونات، حيث تسمى الكمية $\bar{k}_F = k_F$ بـ **متجه فيرمي - الموجي Fermi**. المعروف بالمساواة $E(k_F) = E_F$ ؛ **وعند حساب التركيز** من خلال المعادلة (24-6) يجب أن يُجري الجمع (التكامل) على **كل الحالات المشغولة**، أي على الحالات $k \leq k_F$. فمن أجل هذه الحالات k ، لدينا $F_F = 1$ ومن ثم:

$$n = \frac{2}{V} \sum_{k \leq k_F} 1 = \frac{2}{V} \frac{V}{(2\pi)^3} \iiint_{\bar{k} \leq k_F} d^3k.$$

يعطي قيمة التكامل في المعادلة الأخيرة حجم كره نصف قطرها k_F ، أي $\frac{4}{3}\pi k_F^3$.

وунدها نستطيع الحصول على علاقة بين متجه فيرمي الموجي k_F والتركيز الإلكتروني n :

$$k_F = (3\pi^2 n)^{1/3} \quad \text{أو} \quad n = \frac{2}{2 \times 4\pi^3} \frac{4}{3} \pi k_F^3 = \frac{k_F^3}{3\pi^2}$$

وأخيراً نجد أن طاقة فيرمي للإلكترونات المتحللة في بلورة حجمية تساوي:

$$E_F = E|_{k=k_F} = \frac{\hbar^2 k_F^2}{2m^*} = \frac{\hbar^2 (3\pi^2 n)^{2/3}}{2m^*};$$

ومن ثم نحصل على العلاقة الآتية التي تربط بين طاقة فيرمي والتركيز الإلكتروني المتحلل في درجات الحرارة المنخفضة جداً:

$$E_F = (3\pi^2)^{2/3} \frac{\hbar^2 n^{2/3}}{2m^*}, \quad \text{at } T \rightarrow 0. \quad (26-6)$$

في هذه الحالة، تزداد طاقة فيرمي E_F بازدياد التركيز الإلكتروني ولكن ليس بشكل خطٍّ، بل وفق قانون القوة $\frac{2}{3}$. وبما أن تابع فيرمي يحوي عاماً أسيّاً، فإن حد درجات الحرارة المنخفضة يوافق الشرط $E_F \gg k_B T$.

يبقى الغاز الإلكتروني في الفلزات وأنصاف النوافل المطعمية بشدة **متحللاً حتى درجة حرارة الغرفة**.

فمثلاً، في حالة بلورة **زنريخيد الغاليم** GaAs حيث تبلغ الكتلة الإلكترونية الفعالة $m_0 = 0.067 m_e$ كتلة الإلكترون الحر)، وتركيز الإلكترونات $n = 10^{17} \text{ cm}^{-3}$ نجد أن $k_F = 1.43 \times 10^6 \text{ cm}^{-1}$ و $E_F = 11.6 \text{ meV}$. توافق هذه القيمة للطاقة درجة حرارة تساوي 135K.

ولهذا السبب، يمكن في درجات الحرارة الأقل من درجة الحرارة الأخيرة، $T < 135K$ ، دراسة تركيز الغاز الإلكتروني $n = 10^{17} \text{ cm}^{-3}$ في GaAs؛ **تركيز متحلل**، ومن الممكن استعمال هذه التقييمات من أجل طاقة فيرمي E_F ومتجه فيرمي الموجي k_F أيضاً.

تُعد جملة الغاز الإلكتروني المتحلل جملةً فيزيائيةً رائعةً ومهماً جداً، إذ تُسهل هذه الحالة المحدودة فهم العديد من الظواهر المعقدة بطريقة بسيطة. في الواقع، وكما أكنا سابقاً، إن كل الحالات الواقعة تحت E_F ، في غازٍ إلكترونيٍ متحلٍ، تكون مسكونةً؛

لنفترض الآن أن اضطراباً خارجياً صغيراً طبق على هذا جملة متعددة الإلكترونات:

يُسَبِّبُ الاضطراب Perturbation إعادة توزُّع الإلكترونات بين الحالات الطاقية، ولكن كل الحالات الواقعة تحت مستوى فيرمي ممتلئة تماماً، مما يعني أن إعادة التوزُّع غير ممكنة، وعوضاً عن ذلك، يمكن لتلك الإلكترونات الواقعة في مستوى فيرمي فقط، أي التي تملك طاقةً تساوي E_F تماماً، أن تتأثر بالاضطراب؛

وهذا يؤدي إلى حقيقة مفادها، أن **جزءاً صغيراً** فقط من الإلكترونات يمكن أن **يسهم في استجابة البلورة للاضطراب**. إذ يمكن القول إن **هذه الإلكترونات "النشطة"** تقع على ما يسمى سطح فيرمي Fermi Surface في الفراغ - \vec{k} وأن **أبعاد Size** هذا السطح هو الذي يحدد الخصائص الأساسية للغاز الإلكتروني المتحلل؛ فسطح فيرمي من أجل البلورات شبه-الحجمية ذات الطيف الطaci البسيط المدرس أعلاه هو **مجرد كرة** نصف قطرها k_F . يُمثل الشكل (5a-6) سطح فيرمي لغاز إلكتروني ثلثي البعد. ويمكن أن نبين بسهولة، باستخدام المعادلة $v_F = \hbar k_F / m^*$ ، أن الإلكتروناً واقعاً على سطح فيرمي يمتلك السرعة $v_F = dE/d\vec{p}$.

ثانياً - يمكننا دراسة جملة إلكترونية منخفضة- البعد بصورة مشابهة تماماً لما سبق؛ فكما ناقشنا في الفقرة 5-4 في مقرر علم النانو وتطبيقاته، من الممكن باستعمال تركيب متغايرة Heterostructure، تصنيع **كمون Potential Wells** تحصِّر إلكترونات، من **عصابة الناقليّة**، في طبقات ضيقية بحيث تصبح الحركة الإلكترونية عبر هذه الطبقات مُكمَّة Quantized. وهذا ما يجعل الطاقات الإلكترونية على هيئة **عصابات جزئية منخفضة- البعـد** تُعطى بالمعادلة (49-3)؛

$$E_{n, \vec{k}_{||}} = \epsilon_n + \frac{\hbar^2}{2m} (k_x^2 + k_y^2)$$

كمومية Quantum Wells. إذن:

$$E_{l_3} (\vec{k}_{||}) = \epsilon_{l_3} + \frac{\hbar^2 k_{||}^2}{2m^*}, \quad (27-6)$$

حيث ($l_3 = 1, 2, \dots$) و $k_{||}$ (المتجه ثالثي البعد)

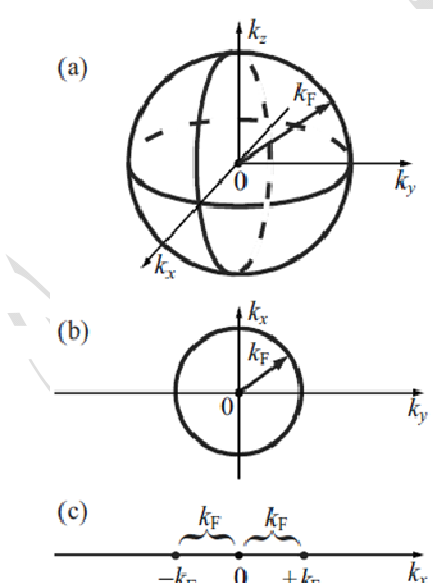
يعتَنَى الحركة الإلكترونية في مستوى الطبقة.

يمكن استخدام تابع توزُّع فيرمي الذي يأخذ شكل المعادلة (18-6) لحساب التركيز الإلكتروني ثالثي- البعـد

(التركيز الطبيعي أو السطحي Sheet Concentration

لإلكترونات) وفق العلاقة الآتية:

$$n_{2D} = n \times d = \frac{2}{S} \sum_{l_3, \vec{k}_{||}} \frac{1}{1 + e^{\frac{E_{l_3}(\vec{k}_{||}) - E_F}{k_B T}}} , \quad (28-6)$$



الشكل (5-6): سطوح فيرمي من أجل ثلاثة غازات إلكترونية
ثلاثية البعد، و (b) ثنائية البعد، و (c) أحادية البعد

حيث أدخلنا في هذه المعادلة **التركيز السطحي** للإلكترونات n_{2D} (عدد الإلكترونات في وحدة المساحة) وسماكه الطبقة d ومساحتها S المحسورة Confined Layer. من الواضح هنا، أن الحجم يساوي $V = d \times S$. في الحقيقة، إن المعادلة (6-28)، وكما وجدها من أجل بلورة حجمية، تحدد العلاقة بين التركيز السطحي للإلكترونات n_{2D} وطاقة فيرمي E_F .

يمكن وبشكل واضح حساب التركيز السطحي للإلكترونات ضمن حدود الغاز الإلكتروني المتخلل. لنفرض مثلاً، أن درجة الحرارة منخفضة وأن **العصابة الجزئية الأخفض فقط مشغولة بالإلكترونات**؛ في هذه الحالة، يجب أن نحافظ في المجموع على I_3 في المعادلة (6-28) على حد واحد يوافق $I_3 = 1$ فقط:

$$n_{2D} = n \times d = \frac{2}{S} \sum_{\vec{k}_{||}} \frac{1}{1 + e^{\frac{E_F(\vec{k}_{||}) - E_F}{k_B T}}} , \quad (29-6)$$

يمكن تبسيط حساب الطرف الأيمن من هذه المعادلة باستبدال المجموع على $\vec{k}_{||}$ بالتكامل، بشكل مشابه للمعادلة (25-6)، فنجد:

$$\sum_{\vec{k}_{||}} (\dots) = \frac{S}{(2\pi)^2} \iint dk_x dk_y (\dots) , \quad (30-6)$$

حيث k_x و k_y مركبنا المتجه ثانوي - البعد $\vec{k}_{||}$.

يعطي قيمة التكامل في المعادلة الأخيرة مساحة قرص نصف قطره k_F ، أي $k_F^2 = \pi^2 / 4$. ويمكن ضمن حدود درجة الحرارة المنخفضة $T \rightarrow 0$ حساب التركيز السطحي n_{2D} من خلال تعين متجه فيرمي الموجي $\vec{k}_{||,F}$ بوساطة العلاقة:

$$E_F = \frac{\hbar^2 k_{||,F}^2}{2m^*} . \quad (31-6)$$

يُعَد "سطح" فيرمي من أجل حاملات شحنة ببعدين "قرصاً" نصف قطره $k_{||,F}$ في الفراغ $\vec{k}_{||}$ ، كما يوضح الشكل (5b-6). ونجد من تكامل المعادلة (30-6) على "القرص" على العلاقات الآتتين، وذلك عندما $T \rightarrow 0$:

$$n_{2D} = \frac{2}{S} \sum_{\vec{k}_{||}} 1 = \frac{2}{S} \frac{S}{(2\pi)^2} \iint_{|\vec{k}| \leq k_F} d^2 k = \frac{2}{S} \frac{S}{4\pi^2} \left(\pi k_{||,F}^2 \right) = \frac{1}{2\pi} k_{||,F}^2 = \frac{1}{2\pi} \frac{2m^*}{\hbar^2} E_F ,$$

ومن ثم

$$E_F = \frac{\hbar^2 (2\pi n_{2D})}{2m^*} = \frac{\pi \hbar^2}{m^*} n_{2D} \quad \text{و} \quad k_{||,F} = \sqrt{2\pi n_{2D}} \quad (32-6)$$

هذا يعني أن **طاقة فيرمي**، k_F ، **تزداد مع التركيز السطحي الإلكتروني** n_{2D} **خطياً**.

ثالثاً - يعطى الطيف الطيفي من أجل بنية نانوية تتحصر فيها الحركة الإلكترونية ببعدين وتكون حرّة في البعد الثالث، أي من أجل **سلك كمومي**، بالعلاقة الآتية:

$$E_{l_2, l_3}(k_x) = \epsilon_{l_2, l_3} + \frac{\hbar^2 k_x^2}{2m^*} , \quad (33-6)$$

حيث أفترض أن الاتجاه \hat{x} هو الاتجاه الوحيد للحركة الحرجة.
وبتطبيق إجراء مشابه للإجراء الذي أجريناه أعلاه يمكننا أن نرى أنه من أجل درجات الحرارة المنخفضة ينكمش ويتقلص Shrink سطح فيرمي إلى نقطتين في الفراغ - k أحادي البعدين:

$$k_x = \pm k_F$$

ثم إن التركيز الخطي الإلكتروني الذي يمكن تعينه بالعلاقة $n_{1D} = N/L$ ، حيث N العدد الكلي للإلكترونات في السلك و L طوله، يساوي:

$$n_{1D} = \frac{2}{L} \sum_{\vec{k}_F} 1 = \frac{2}{L} \frac{L}{2\pi} \int_{|\vec{k}| \leq k_F} dk = \frac{2}{L} \frac{L}{2\pi} (2k_F) = \frac{2}{\pi} k_F$$

ومن ثم نحصل على العلاقة الآتية التي تربط بين التركيز الخطي الإلكتروني وطويلة متوجه فيرمي الموافق:

$$k_F = \frac{1}{2} \pi n_{1D}$$

توضيح الأشكال (5a,b,c-6) التحول المتالي لسطح فيرمي وتظوره مع تخفيض الأبعاد: حيث نحصل على طاقة فيرمي للإلكترونات ببعد واحد من أجل $T \rightarrow 0$ بالشكل الآتي:

$$E_F = \frac{\hbar^2 k_F^2}{2m^*} = \frac{\hbar^2 \left(\frac{1}{2} \pi n_{1D}\right)^2}{2m^*} = \frac{\pi^2 \hbar^2}{8m^*} n_{1D}^2. \quad (34-6)$$

يمكننا أن نستنتج من مقارنة طاقات فيرمي الحاصلة من أجل أبعاد مختلفة للغاز الإلكتروني أن **تخفيض أبعاده يؤدي إلى زيادة E_F بشكل متتسارع** عند زيادة تركيز الإلكترونات من أجل جمل منخفضة - البعدين.
يُعد مفهوم إحصاء فيرمي إحدى الأفكار الأساسية لفيزياء الحالة الصلبة الحديثة وغاية في الأهمية من أجل الإلكترونيات النانوية. يطبق إحصاء فيرمي على نطاق واسع في توصيف نبات التراكيب النانوية.

4-6 كثافة الحالات الطافية من أجل الإلكترونات في التراكيب النانوية:

The Density of States of Electrons in Nanostructures

لِتَكَمِّلُ تَحْلِيلَ إِسْكَانِ الْمُسْتَوَىتِ الطَّاقِيَّةِ بِالْإِلْكْتَرُونَاتِ فِي التَّرَاكِيبِ النَّانِوِيَّةِ لَا بُدُّ مِنْ دِرَاسَةِ كَمِيَّةِ فِيَزِيَّاً يَوْمَيَّةِ أُخْرَى تَصَفُّ إِسْكَانَ الْإِلْكْتَرُونِيِّ؛ ثُمَّ تُعرَفُ بِكَثَافَةِ الْحَالَاتِ *Density of States*. يَكُنْ سَبَبُ إِدْخَالِ هَذِهِ الْكَمِيَّةِ فِي الْآتِيِّ :

- إِنَّ الْأَطْيَافَ الطَّاقِيَّةَ الْإِلْكْتَرُوْنِيَّةَ فِي الْهَيَّاْكَلِ النَّانِوِيَّةِ الْحَاوِيَّةَ عَلَى إِلْكْتَرُونَاتِ نَاقِلَيَّةٍ مَعْقَدَةٍ وَتَأْلِفُ مِنْ سَلِسَلَةِ مِنْ الْعَصَابَاتِ الْجَزِيَّةِ *Sub-bands*؛
- إِذْ تُشَيَّعُ الْفَوَاصِلُ بَيْنَ الْعَصَابَاتِ الْجَزِيَّةِ بِشَكْلِ كَمُونِ الْحَصْرِ فِي حِينَ يَكُونُ الْطَّيفُ ضَمِّنَ كُلَّ عَصَابَةٍ مَسْتَقِرًا،
- فَضْلًاً عَنْ أَنْ هَذِهِ الْأَطْيَافَ الْمَسْتَقِرَةَ تَكُونُ مَتَّدَالَةً.

وَلِتَوْصِيفِ هَذِهِ الْأَطْيَافِ الْمَعْقَدَةِ مِنَ الْمَنَاسِبِ أَنْ تُدْخَلَ تَابِعًا طَيْفِيًّا يُعْرَفُ بِاسْمِ كَثَافَةِ الْحَالَاتِ وَنَرْمِزُ لَهُ بِالرَّمْزِ $\rho(E)$ ؛ إِذْ يُعْطِيُ هَذَا التَّابِعُ عَدْدَ الْحَالَاتِ الْكَمُومِيَّةِ $dN(E)$ فِي مَجَالٍ صَغِيرٍ يَقْعُدُ بِجُوارِ طَاقَةِ ما E :

$$dN(E) = \rho(E) dE. \quad (35-6)$$

إِذَا رَمَّزْنَا مَجْمُوعَةَ الْأَعْدَادِ الْكَمُومِيَّةِ الْمَوَافِقةِ لِحَالَةِ كَمُومِيَّةٍ مُحدَّدةٍ بِالرَّمْزِ v ، فَإِنَّ الْعَلَاقَةَ الْعَامَّةَ لِكَثَافَةِ الْحَالَاتِ تُعْرَفُ بِالْمَسَاوَى

$$\rho(E) = \sum_v \delta(E - E_v), \quad (36-6)$$

حِيثُ E_v الْطَّاقَةُ ذَاتِ الْحَالَةِ الْكَمُومِيَّةِ v .

وَمِنَ الْمُفَدِّيِّ فِي هَذَا السَّيَّارِ إِدْخَالِ تَابِعٍ $-\delta$ دِيرَاكِ الشَّهِيرِ :

$$\delta(x) = \begin{cases} 0, & \text{for } x \neq 0, \\ \infty, & \text{for } x \rightarrow 0, \end{cases} \quad (37-6)$$

عَلَمًا بِأَنَّ :

$$\int_{-\infty}^{+\infty} \delta(x) dx = 1. \quad (38-6)$$

يُسْتَعْمَلُ تَابِعُ $-\delta$ دِيرَاكٍ عِنْدِ إِجْرَاءِ تَكَاملٍ. وَالْقَاعِدَةُ الرَّئِيْسَةُ لِمَثَلِ هَذَا التَّكَاملِ هِيَ :

$$\int_a^b \delta(x - x_0) \Phi(x) dx = \Phi(x_0), \quad \text{if } a < x_0 < b, \quad (39-6)$$

حِيثُ $\Phi(x)$ تَابِعٌ اِخْتِيَارِيٌّ مُوصَفٌ جِيدًا.

وَكَمَثَلٍ بَسِيْطٍ حَولِ حَسَابِ كَثَافَةِ الْحَالَاتِ $\rho(E)$ ، سَنَحْسَبُ بِاستِخدَامِ التَّعْرِيفِ الْمُتَمَثَّلِ بِالْمَعَادِلَةِ (36-6)، هَذِهِ الْكَمِيَّةُ مِنْ أَجْلِ الْإِلْكْتَرُونَاتِ الْمُتَوَافِرَةِ فِي بَلُورَةِ حَجمِيَّةِ الْأَعْدَادِ الْكَمُومِيَّةِ مِنْ أَجْلِ حَالَةِ كَهْذِهِ، كَمَا رَأَيْنَا سَابِقًا، هِيَ

$$\left\{ \vec{k}, s \right\}. \quad \text{إِذَا فَرَضْنَا أَنَّ الْطَّاقَةَ مُسْتَقْلَةٌ عَنِ السَّبَيْنِ} E(\vec{k}) = \frac{\hbar^2 k^2}{2m^*}$$

$$\sum_{\vec{k}} (\dots) = \frac{V}{(2\pi)^3} \iiint dk_x dk_y dk_z (\dots)$$

$$\rho_{3D}(E) = \frac{2V}{(2\pi)^3} \iiint \delta(E - E(\vec{k})) d\vec{k}. \quad (40-6)$$

وبما أن الطاقة $E(\vec{k})$ ، فعلياً، ترتبط بطويلة \vec{k} ، فمن الممكن استعمال الإحداثيات الكروية؛ يعطي التكامل على زاويتين القيمة 4π فيختزل التكامل الثلاثي إلى تكامل أحادي:

$$\rho_{3D}(E) = \frac{2V}{(2\pi)^3} \times 4\pi \int_{-\infty}^{+\infty} \delta(E - E(\vec{k})) k^2 dk. \quad (41-6)$$

نستبدل الآن التكامل على k بالتكامل على الطاقة ε $E(\vec{k}) = \varepsilon$ ونأخذ بالحسبان أن $k^2 = (2m^*/\hbar^2)\varepsilon$ و $dk = \frac{1}{2}\sqrt{2m^*/\hbar^2}\varepsilon^{-1/2}d\varepsilon$ فحصل باستعمال المعادلة (39-6) على المعادلة الآتية:

$$\begin{aligned} \rho_{3D}(E) &= \frac{2V}{(2\pi)^3} 2\pi \int_0^{\infty} \delta(E - \varepsilon) (2m^*/\hbar^2) \varepsilon \frac{1}{2} \sqrt{2m^*/\hbar^2} \varepsilon^{-1/2} d\varepsilon; \\ \rho_{3D}(E) &= \frac{V}{2\pi^2} \left(\frac{2m^*}{\hbar^2} \right)^{3/2} \underbrace{\int_0^{\infty} \delta(E - \varepsilon) \sqrt{\varepsilon} d\varepsilon}_{\sqrt{\varepsilon} = \Phi(E)} = \frac{V}{2\pi^2} \left(\frac{2m^*}{\hbar^2} \right)^{3/2} \Phi(E). \end{aligned} \quad (42-6)$$

ومن ثم:

$$\boxed{\rho_{3D}(E) = \frac{V}{\pi^2} \left(\frac{m^*}{\hbar^2} \right)^{3/2} \sqrt{2E}}. \quad (43-6)$$

يوضح الشكل (6a-6) كثافة الحالات هذه التي تم الحصول عليها من أجل الإلكترونات ثلاثية البعد. تشمل مجموعة الأعداد الكومومية من أجل الإلكترونات الموجودة في **بئر كمومي** يعطي طيفه الطيفي بالمعادلة (27-6)، **عددًا كمومياً سينيًّا**، l_3 ، **عددًا كمومياً**، l_3 ، **يصف التكمية العرضانية** Transverse Quantization للحالات الإلكترونية **ومتجهاً موجياً مستمراً** Continuous شائي - البعدين \vec{k}_{\parallel} . ولهذا السبب، فإن $\nu = \{s, l_3, \vec{k}_{\parallel}\}$.

يوجد تحلل سيني شائي للطبقة لكل حالة، $(s = \pm \frac{1}{2})$ ، ولذلك، فإن:

$$\boxed{\rho_{2D}(E) = 2 \sum_{l_3, k_x, k_y} \delta \left(E - \varepsilon_{l_3} - \frac{\hbar^2 (k_x^2 + k_y^2)}{2m^*} \right)}. \quad (44-6)$$

ومن أجل حساب المجموع على k_x و k_y يمكننا تطبيق المعادلة (30-6) مع استبدال S لتكون مساحة سطح البئر الكمومي؛ $S = L_x \times L_y$ حيث L_x و L_y بعداً البئر الكمومي في الاتجاهين x و y على الترتيب. وتعطي حسابات التكاملات العلاقة الآتية:

$$\boxed{\rho_{2D}(E) = \frac{S m^*}{\pi \hbar^2} \sum_{l_3} \int_0^{\infty} \delta(E - \varepsilon_{l_3} - \varepsilon) d\varepsilon = \frac{S m^*}{\pi \hbar^2} \sum_{l_3} \Theta(E - \varepsilon_{l_3})}. \quad (45-6)$$

حيث $\Theta(x)$ تابع الخطوة (الدُّرْجَة) لهيفيسايد :Heaviside Step-Function

$$\Theta(x) = \begin{cases} 1, & \text{for } x > 0, \\ 0, & \text{for } x < 0. \end{cases} \quad (46-6)$$

يشير كثيراً استخدام كثافة الحالات في وحدة المساحة S/E وليس كثافة الحالات بهدف التخلص من أبعاد العينة؛ **يوافق كل حد** في المجموع الوارد في المعادلة (45-6) مساهمة **عصابة جزئية واحدة** ثم إن مساهمات كل العصابات الجزئية واحدة ومستقلة عن الطاقة. وبالتالي، **تُظهر كثافة الحالات للإلكترونات ثنائية - البعد** تابعة طاقية لها شكل درج Staircase-Shaped كل خطوة في هذا الدرج عامٌ ويتعلق بالكتلة الفعالة الإلكترونية فقط.

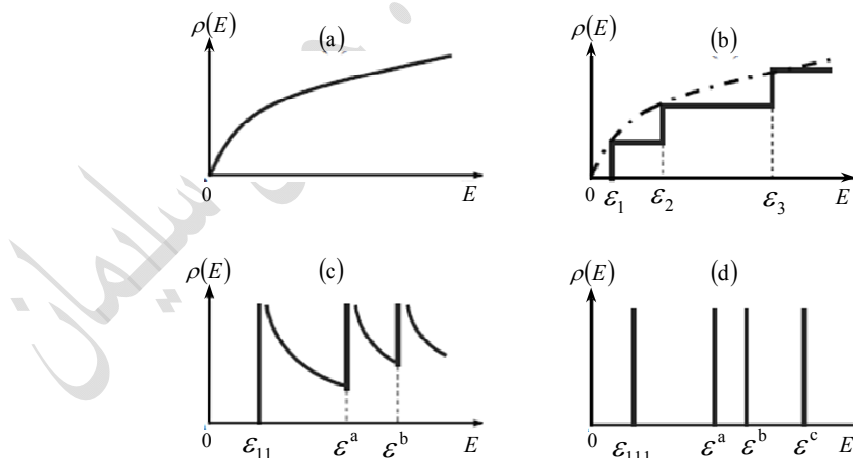
يوضح الشكل (6b-6) كثافة الحالات ثنائية - البعد: إذ بمقارنة كثافات الحالات من أجل الإلكترونات في بلورات حجمية في وحدة الحجم، وبئر كمومية في وحدة المساحة يمكننا أن نرى أن الفوارق بين الحالتين، ثنائية البعد وثلاثية البعد تكون جليّة في المناطق الطاقية للعصابات الجزئية الأخفض ويكون التابع الدرجي من أجل قيم I_3 الكبيرة قريباً جداً من المنحني الحجمي $\rho_{3D}(E)$ ويتطابق معه **تقاريباً** Asymptotically.

وبشكلٍ مشابه، يمكننا إيجاد **كثافة الحالات لغاز إلكتروني أحادي البعد** ذي طيف طaci يعطى بالمعادلة (33-6)؛ ونتيجة الحساب تكون من الشكل الآتي:

$$\rho_{1D}(E) = \sum_{l_2, l_3} \rho_{l_2, l_3}(E),$$

حيث:

$$\boxed{\rho_{l_2, l_3}(E) = \frac{L}{\pi} \sqrt{\frac{2m^*}{\hbar^2}} \frac{1}{\sqrt{E - \epsilon_{l_2, l_3}}} \Theta(E - \epsilon_{l_2, l_3})}, \quad (47-6)$$



الشكل (6-6): كثافة الحالات من أجل الإلكترونات في أنظمة مختلفة الأبعاد: (a) بلورة حجمية، (b) حفرة كمون، (c) سلك كمومي، (d) نقطة كمومية. تمثل المقادير E و ϵ_{11} و ϵ_{111} والحالات الأرضية في حفرة كمون و سلك كمومي ونقطة كمومية على الترتيب؛ ϵ_2 و ϵ_3 والحالات الطاقية الأعلى (المهيّجة) في حفرة كمون و ϵ^a و ϵ^b و ϵ^c الحالات الأعلى في سلك كمومي ونقطة كمومية.

حيث L طول السلك.

يُظهر الشكل (6c-6) رسمًا تخطيطيًّا (E_{ID}) من أجل الإلكترونات أحادية- البعد؛ حيث **تكمّن الصفة المميزة**

كثافة الحالات الأحادية البعد في:

→ **تباعدها بجوار** قاع كلٍ من العصابات الجزئية أحادية- البعد.

→ ثم إنَّ كثافة الحالات الإلكترونيّة **تناقص** حالما **تزداد الطاقة الحركية** للإلكترونات؛

→ ويعُدُّ هذا السلوك مهمًا جدًّا لكونه يؤدي إلى مفاعيل كهربائية وبصرية جديدة تمتاز بها الأسلاك الكومومية.

بمقدورنا الآن دراسة **حالة حديّة لكثافة الحالات من أجل الإلكترونات صفرية- البعد**، أي من أجل الإلكترونات تقع في **نقطٍ كوموميٍّ** Dots؛ فتبعًا لتعريف المعادلة (36-6) تكون الأطيفات الطاقية في حالة النقط أو الصناديق الكومومية منفصلة (أي متقطعة)، وبالتالي، فإنَّ كثافة الحالات ببساطة هي مجموعة قمم لها شكل التابع- δ -Shaped Peaks (6d-6). تكون القمم من أجل جملةٍ مثاليةٍ ضيقة جدًّا وارتفاعاتها لانهائيّة:

- في الواقع، إنَّ التآثرات (أي التفاعلات المتبادلة) بين الإلكترونات والشواطِب، فضلاً عن التصادمات مع اهتزازات الشبكة البلورية **تؤدي إلى تعرض المستويات المتقطعة**،
- وبنتيجة ذلك، فإنَّ القمم الموافقة من أجل جمل فيزيائية قابلة للتحقق تمثل مطالات وتعراضات محدودة (وليس لانهائيّة)؛
- غير أنَّ النزعة الرئيسة المتمثّلة في حدة Sharpening تابعيات الكثافة الطيفية نتيجةً لتخفيض أبعاد الجملة المدروسة **هي مفعولٌ سائدٌ في درجات الحرارة المنخفضة** من أجل **التركيب المثالي Perfect Structures** تقريباً.

إن **التغيرات الحادة** في كثافة الحالات الإلكترونيّة التي تحصل في بلورات محدودة الأبعاد (معنى **بلورات حاصرة للحامات**) **تُظهر نفسها** في مختلف التعديلات الرئيسة التي تطرأ على الناقليّة، والخصائص البصرية، الخ. في الحقيقة، وكما سنرى **لاحقًا**، فإنَّ هذه التغيرات التي تطرأ على كثافة الحالات تؤدي إلى ظواهر فيزيائية جديدة أيضًا.